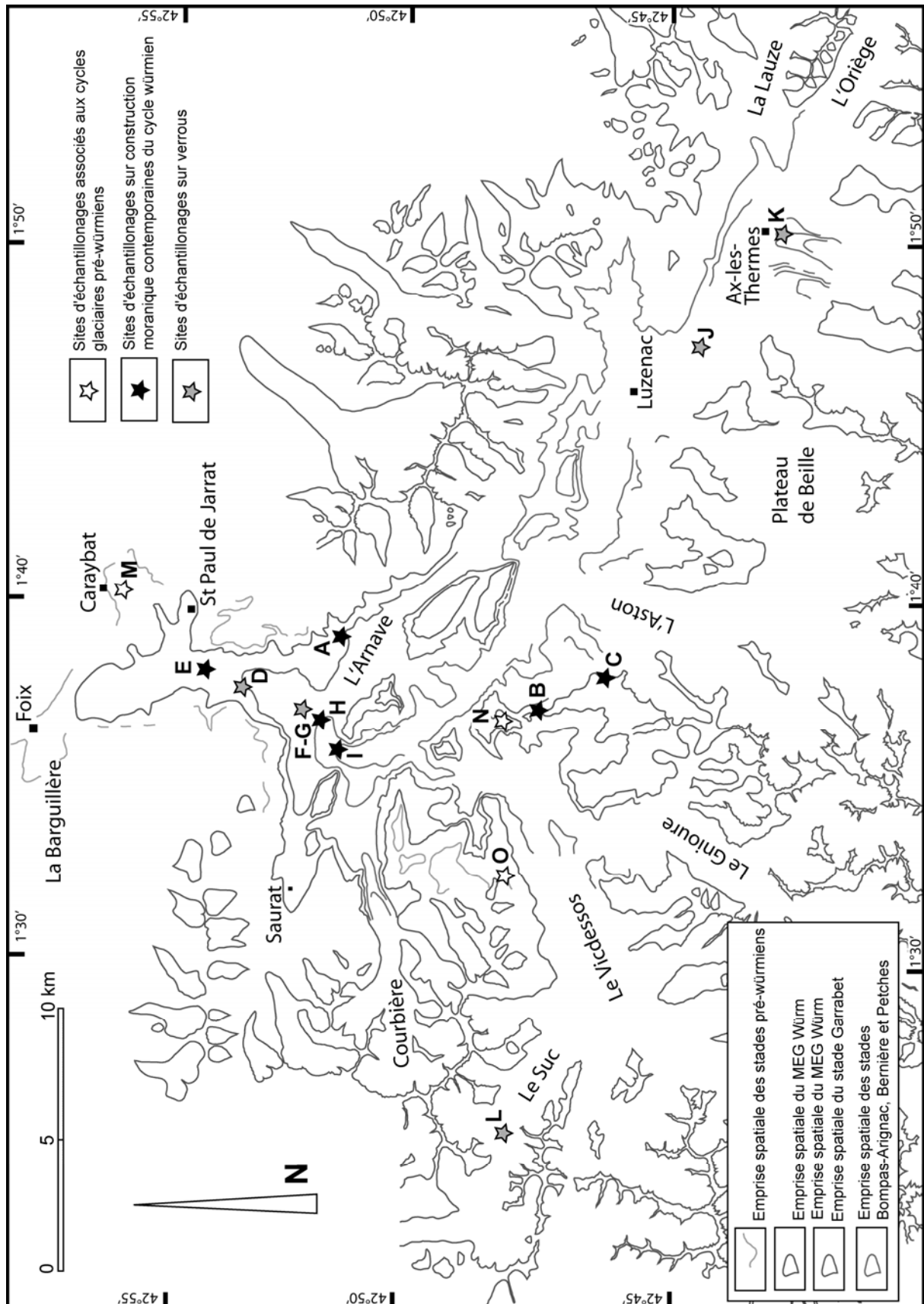
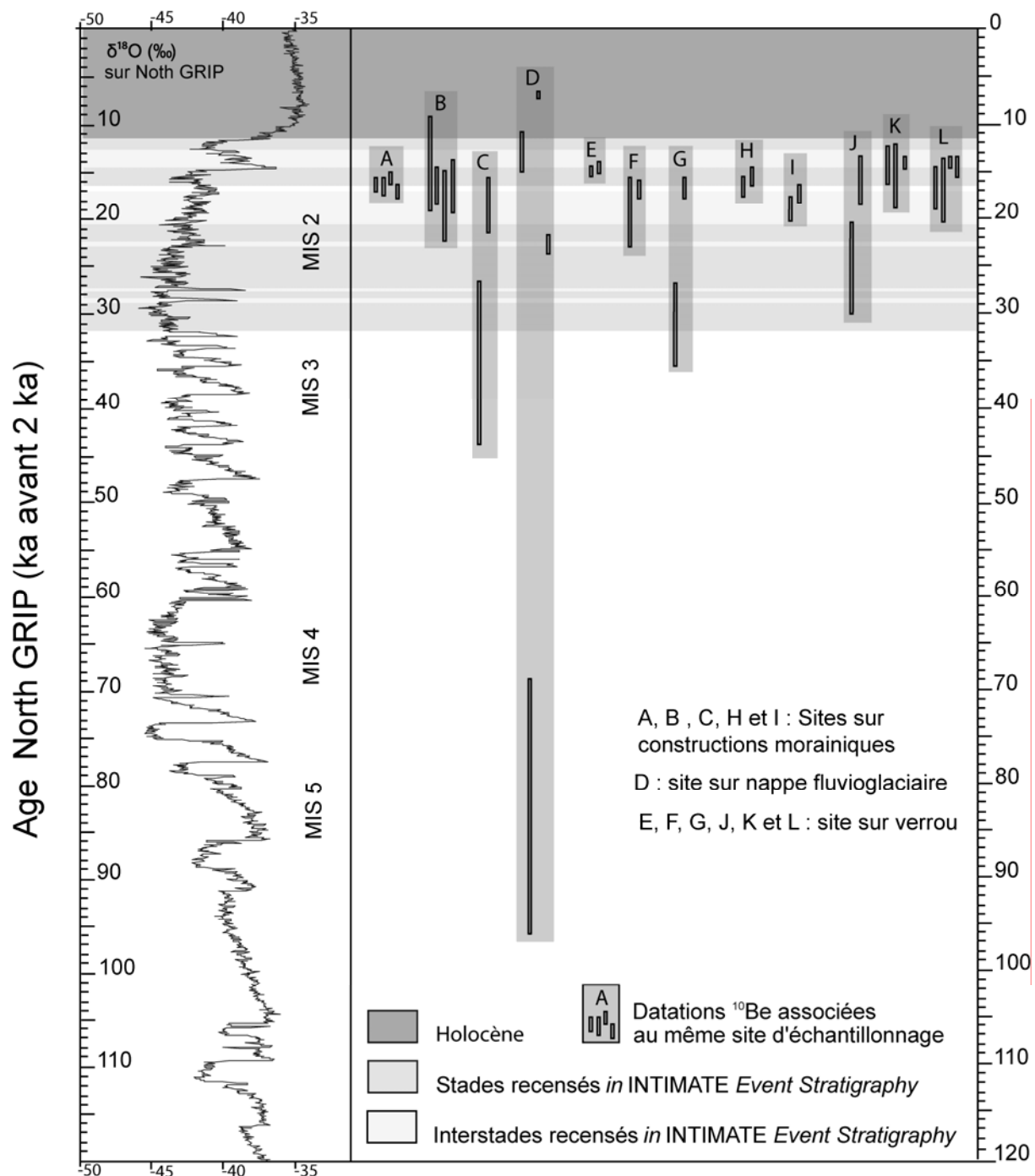


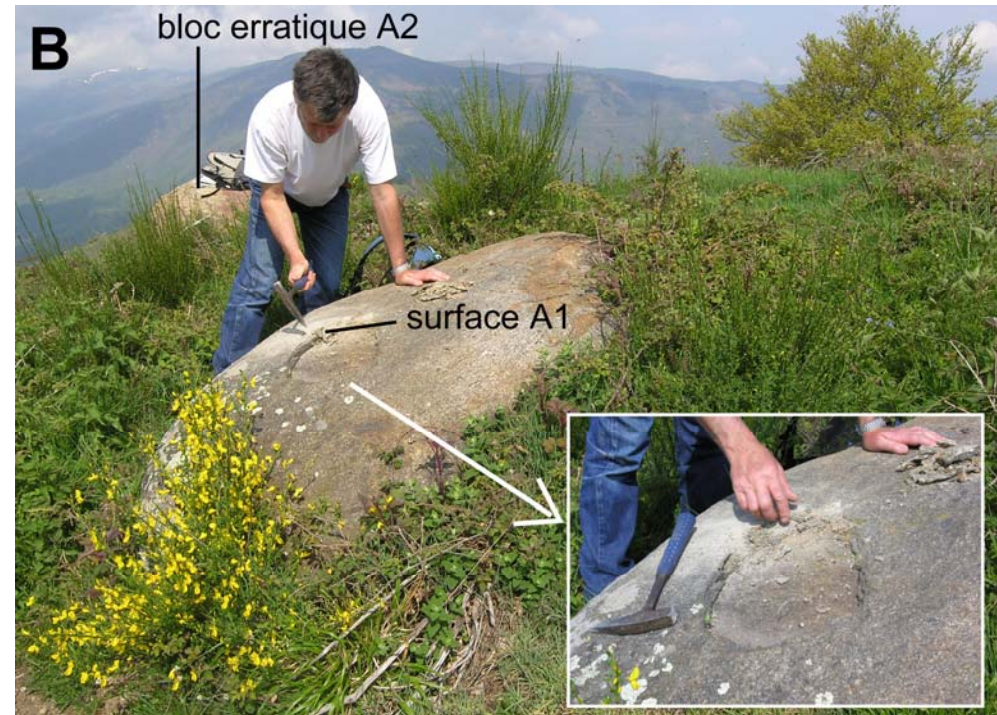
**Fig. 1.16 : Carte de localisation des sites d'échantillonnage en vue de datations par le cosmonucléide  $^{10}\text{Be}$**   
 (Extrait de Delmas M., 2009 Thèse en préparation)



**Fig. 1.17 : Proposition de corrélation entre la série de datations obtenues sur la séquence würmienne du bassin glaciaire ariégeois et un calendrier isotopique global**  
 (Extrait de Delmas M., 2009 Thèse en préparation)



**Fig. 1.18 : Les surfaces rocheuses échantillonnées sur le site A du bassin glaciaire ariégeois (complexe morainique du col d'Ijou-Ardoulens)**



A – Blocs erratique contemporain du MEG Würm, localisé à 951 m sur la butte Ardoulens. Surface datée à  $16,5 \pm 0,9$  ka sur le sommet du bloc (A2, Py06-07)

B - Surface (A1, Py06-06) datée à  $16,3 \pm 0,7$  ka sur le sommet d'un bloc erratique contemporain du MEG Würm. Bloc localisé à 951 m sur la butte Ardoulens, à proximité immédiate du bloc A2.

C - Blocs erratique de taille plurimétrique, contemporain du MEG Würm, localisé au niveau du col d'Ijou (901 m d'altitude). Surface datée à  $17 \pm 0,9$  ka sur le sommet du bloc (A4, Py06-15HF4)



**Fig. 1.19 : Les surfaces rocheuses échantillonnées sur le site C du bassin glaciaire ariégeois (complexe morainique de Larcat)**



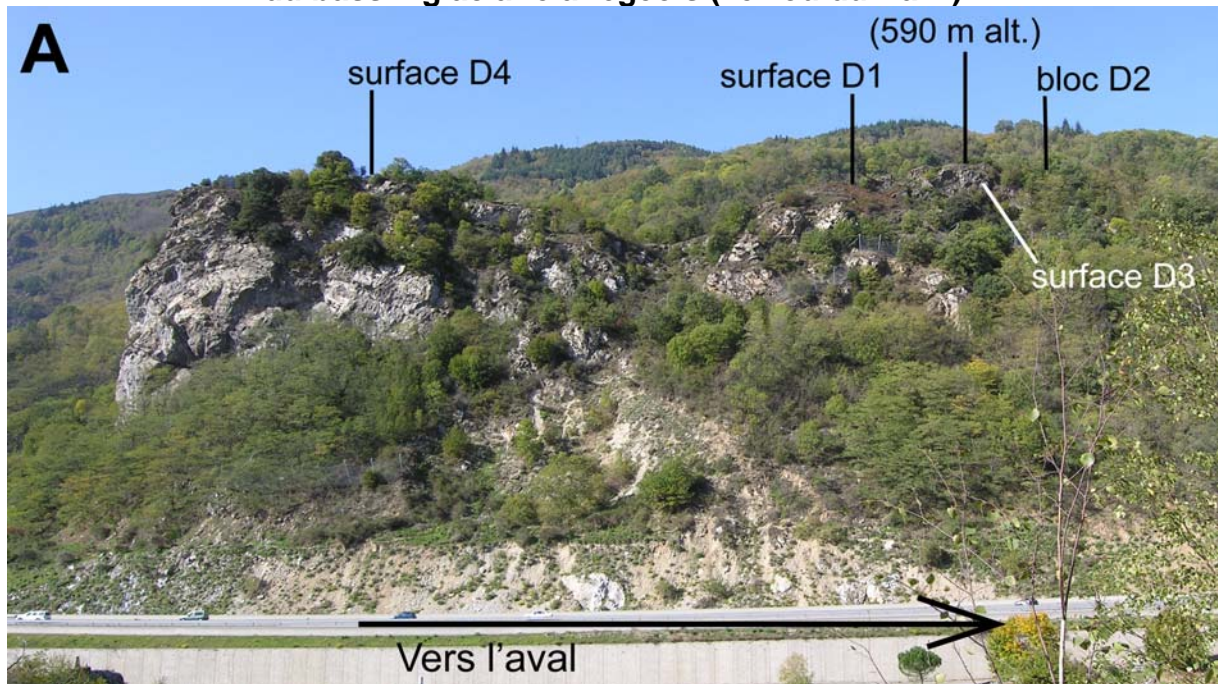
A – localisation des blocs erratiques du site C sur la moraine latérale MEG Würm de Larcat.



B – Blocs erratique posé sur la moraine MEG Würm de Larcat. Surface datée à  $18,3 \pm 3$  ka sur le sommet du bloc (C2, Py05-07)



**Fig. 1.20 : Les surfaces rocheuses échantillonnées sur le site D du bassin glaciaire ariégeois (verrou du Barri)**

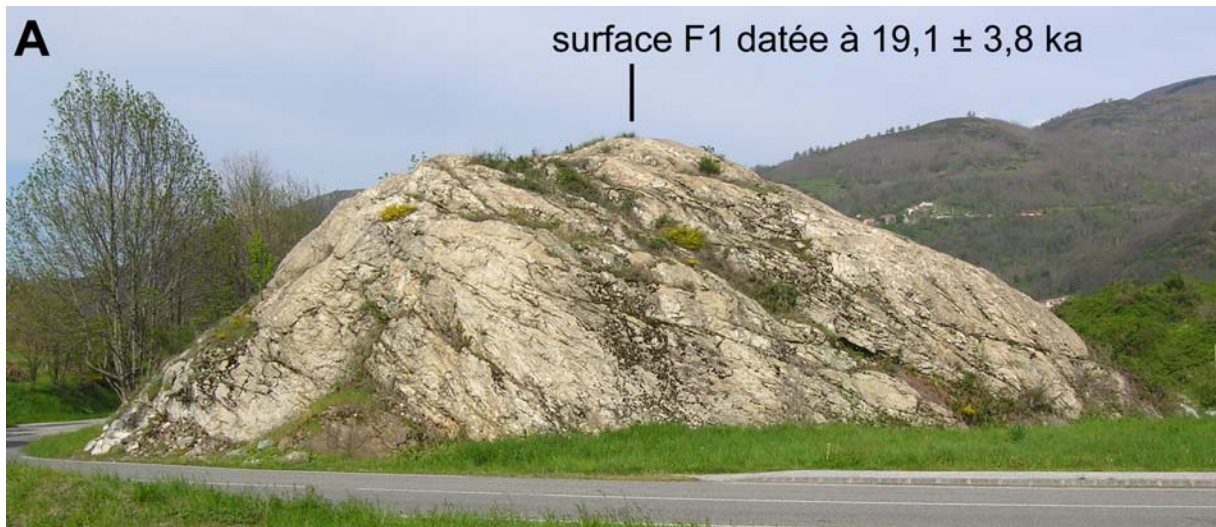


A – Localisation des surfaces rocheuses échantillonnées sur le verrou du Barri (site Ariège D). Verrou dans les migmatites armé par un filon de granite acide extrêmement résistant.

B – Bloc erratique de gneiss posé directement, sans matrice morainique, sur le sommet aval du verrou du Barri (cf. Photo A). Surface datée à  $81,4 \pm 14,6$  ka sur le sommet du bloc (D2, Py05-10)



**Fig. 1.21 : Les surfaces rocheuses échantillonnées sur le site F du bassin glaciaire ariégeois (verrou de Pujoles aval)**



A – Le verrou Pujoles aval. La photographie montre le revers amont de cette bosse rocheuse.



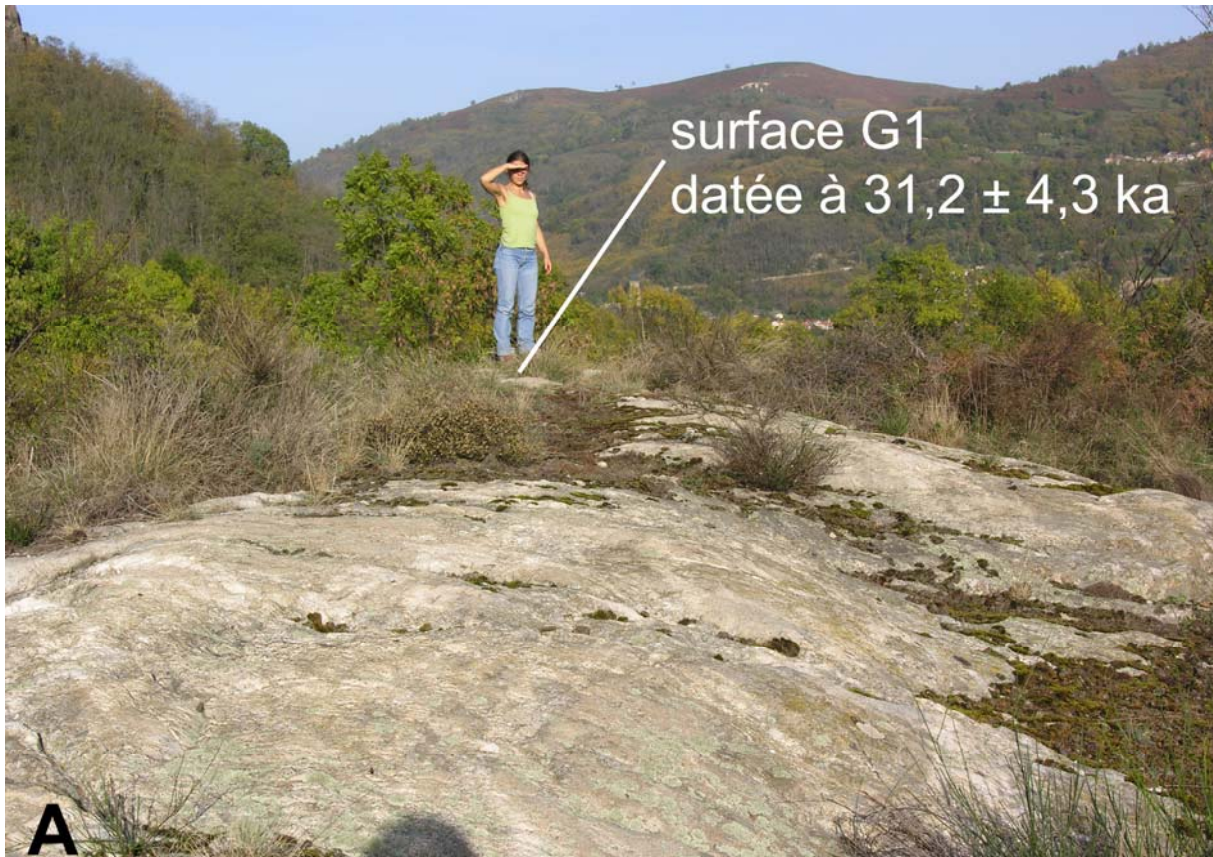
A – Le verrou Pujoles aval. La photographie montre le revers aval de cette bosse rocheuse.



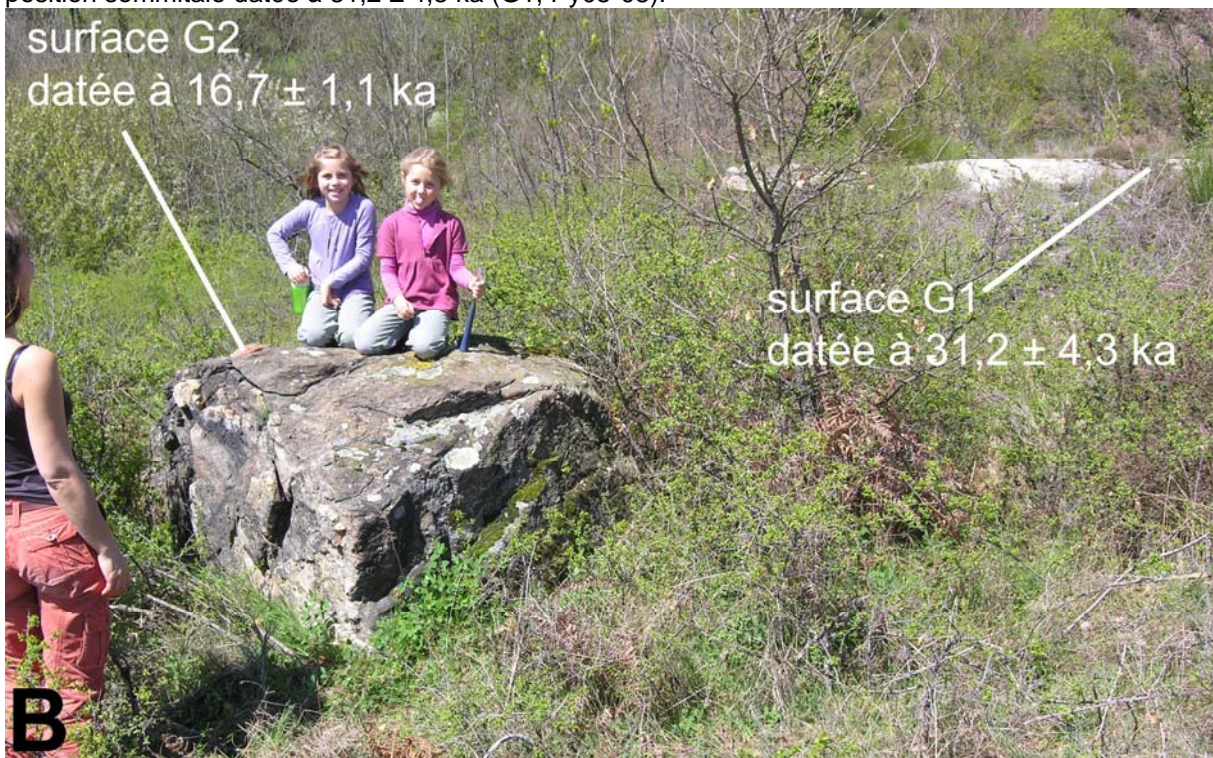
C et D – Détail de la surface polie échantillonnées sur la paroi aval du verrou.



**Fig. 1.22 : Les surfaces rocheuses échantillonnées sur le site G du bassin glaciaire ariégeois (verrou de Pujoles amont)**



**A** - Le verrou Pujoles aval. Le personnage localise la position de l'échantillon G1. Surface polie en position sommitale datée à  $31,2 \pm 4,3$  ka (G1, Py05-08).



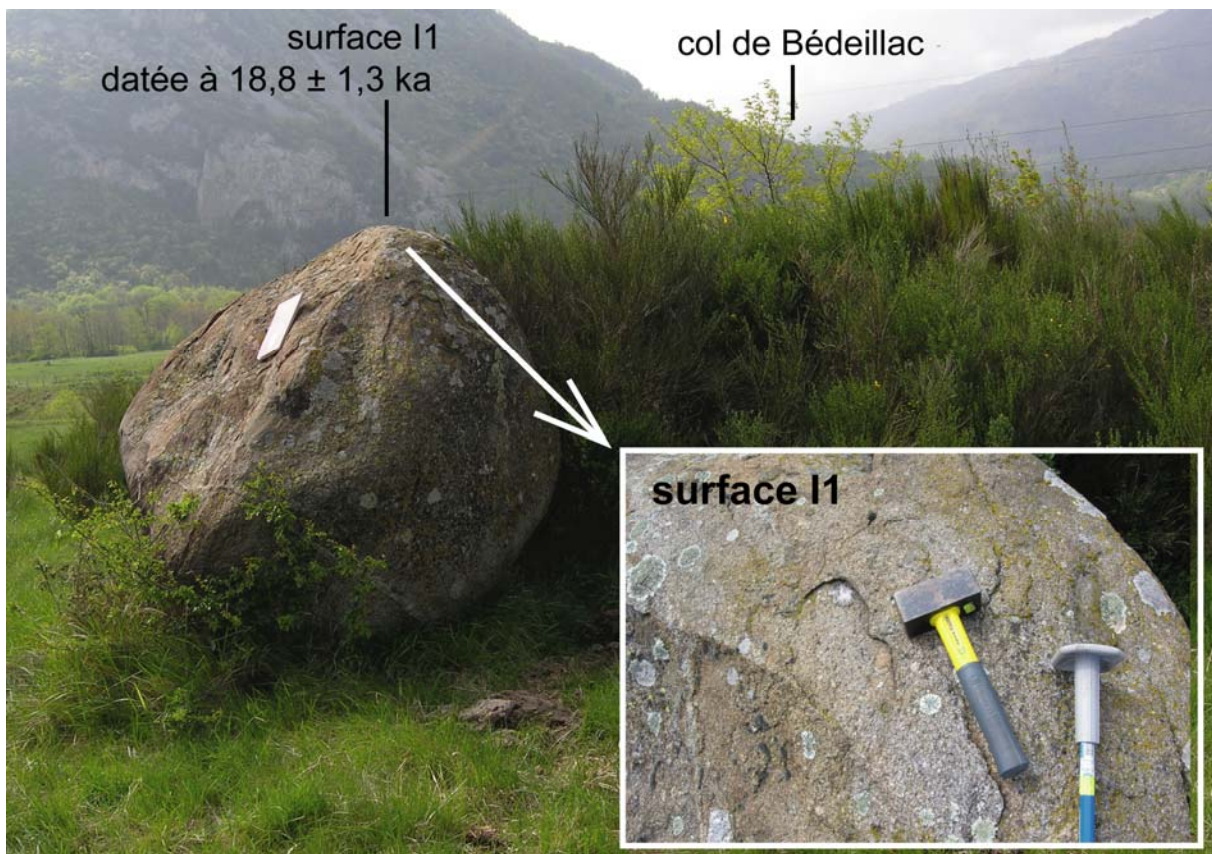
**B** - Les enfants sont agenouillées sur le bloc erratique échantillonné. Surface rocheuse datée à  $16,7 \pm 1,1$  ka (G2, Py06-14) sur le sommet de ce bloc. Noter que ce bloc est directement posé, sans matrice morainique, sur le sommet du verrou G, à une dizaine de mètres de la surface G1 (Py05-08).



**Fig. 1.23 : Les surfaces rocheuses échantillonnées sur les sites H et I.  
Complexes morainique de Bompas-Arignac et Bernière**



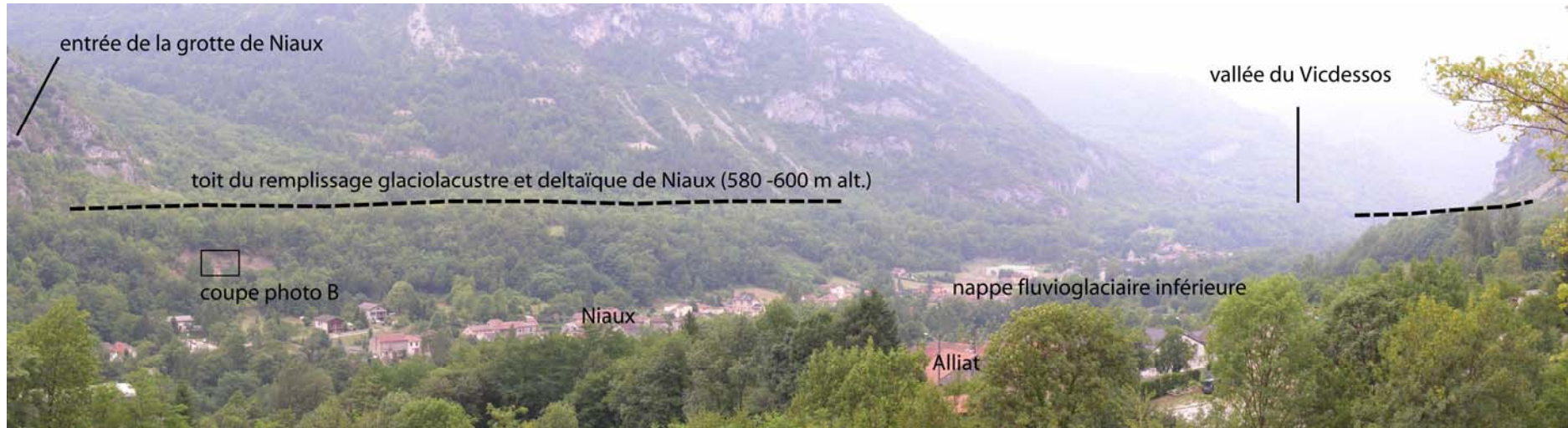
A - Blocs erratique en relation avec le stade Bompas du bassin glaciaire ariégeois. Echantillonnage de la partie supérieure du bloc (**Ariège H1, Py06-02, surface datée à  $16,7 \pm 1$  ka**).



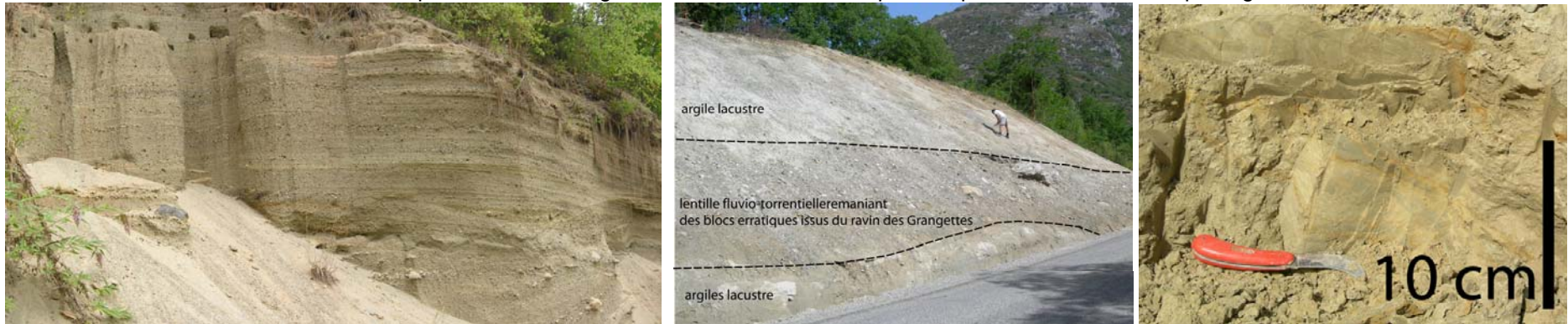
B - Blocs erratique posé sur le cordon morainique frontal de Bernière. Surface datée à  $18,8 \pm 1,3$  ka sur le sommet du bloc (I1, Py06-04).



**Fig. 1.24 : Le remplissage glaciolacustre et deltaïque de Niaux**



A – La basse vallée du Vicdessos vue depuis l'entrée de la grotte de la Vache. Noter la position perchée du toit du remplissage de Niaux.



B – Remplissage deltaïque lié au colmatage du paléolac de Niaux par les eaux de fonte proglaciaire du glacier du Vicdessos.

C – Coupe dans sédiments glaciolacustres situés à proximité du village d'Alliat. Noter la lentille fluviotorrentielle intercalée dans les argiles lacustres. D – Détail sur le dépôt lacustre situé au niveau du personnage sur photo C.



